

Tablas de referencia para CIENCIAS DE LA TIERRA Y DEL ESPACIO

Índice

| Página | Título | Primaria PE |
|--------|---|--------------|
| 2 | Tabla de datos de objetos del sistema solar | (HS-ESS 1-4) |
| 2 | Nucleosíntesis generalizada en una estrella masiva | (HS-ESS 1-3) |
| 3 | Porción del espectro electromagnético relacionada con las ciencias de la Tierra y del espacio | (HS-ESS 1-2) |
| 3 | Espectros de emisión de algunos elementos de las estrellas | (HS-ESS 1-2) |
| 4 | Diagrama de H-R | (HS-ESS 1-3) |
| 5 | Modelo de los ciclos de vida de las estrellas | (HS-ESS 1-3) |
| 6-7 | Historia geológica del estado de Nueva York | (HS-ESS 2-7) |
| 8 | Geología generalizada del lecho rocoso del estado de Nueva York | (HS-ESS 2-1) |
| 9 | Recursos energéticos y minerales del estado de Nueva York | (HS-ESS 3-1) |
| 10 | Provincia geográfica y regiones paisajísticas del Estado de Nueva York | (HS-ESS 2-1) |
| 11 | Modelo de la estructura interior de la Tierra | (HS-ESS 2-3) |
| 11 | Modelo de sección transversal de la superficie y el interior de la Tierra | (HS-ESS 2-3) |
| 12 | Actividad tectónica mundial en el último millón de años | (HS-ESS 1-5) |
| 13 | Modelo de la serie de reacciones de Bowen | (HS-ESS 2-3) |
| 13 | Composición mineral de las rocas ígneas | (HS-ESS 2-3) |
| 14 | Infografía del ciclo de la roca | (HS-ESS 2-5) |
| 15 | Elementos radiactivos de importancia geológica utilizados para la datación radiométrica | (HS-ESS 1-6) |
| 16-17 | Diagrama de flujo de identificación de minerales | (HS-ESS 2-3) |
| 18 | Referencia de los símbolos del mapa meteorológico | (HS-ESS 2-8) |
| 19 | Modelo de cinturones de vientos planetarios generalizados en la tropósfera | (HS-ESS 2-8) |
| 19 | Modelo de la sección transversal de la baja atmósfera terrestre | (HS-ESS 2-8) |
| 20 | Modelo de corrientes oceánicas superficiales | (HS-ESS 2-4) |

EDICIÓN 2024

Esta edición de las Tablas de referencia de Ciencias de la Tierra y del Espacio deberá utilizarse en el aula a partir del curso escolar 2024-25. El primer examen para el que se utilizarán estas tablas es el Examen Regents de Ciencias de la Tierra y del Espacio de junio de 2025.

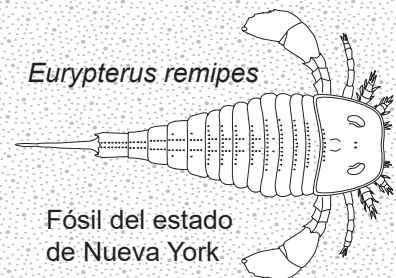
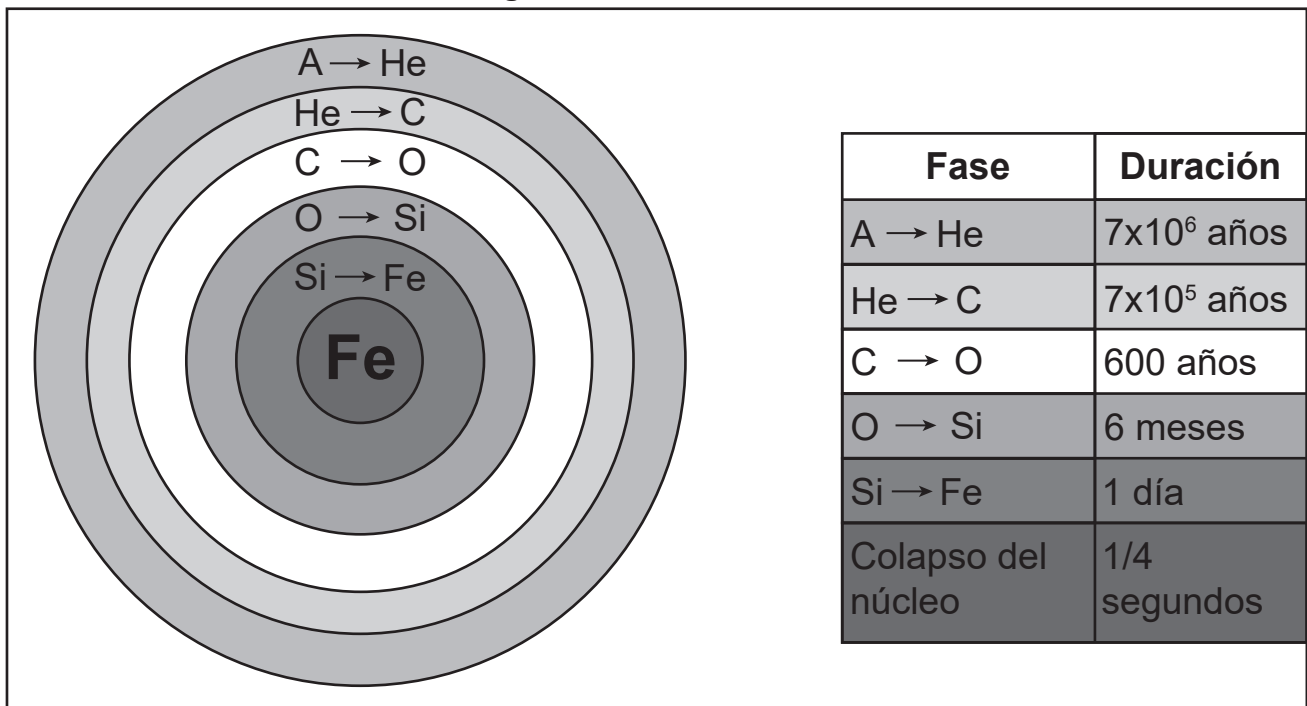


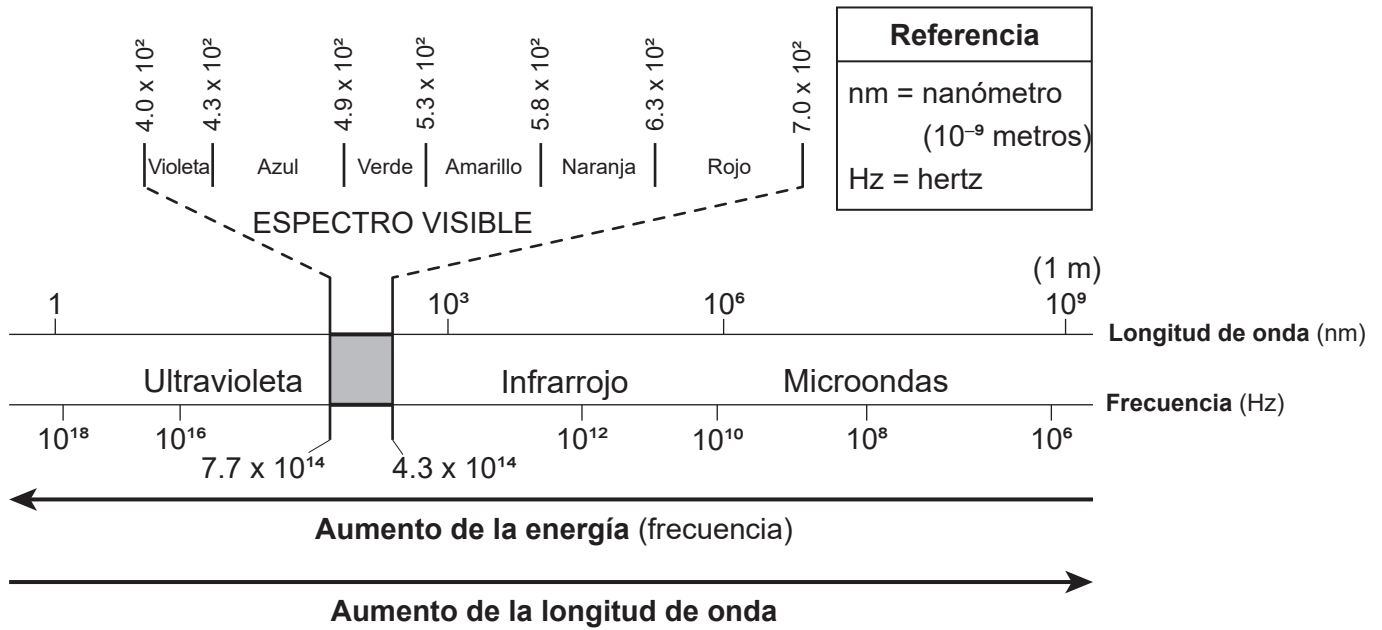
Tabla de datos de objetos del Sistema Solar

| Objeto celeste | Distancia media del Sol (millones de km) | Periodo de revolución (d=días terrestres) (y=años terrestres) | Periodo de rotación en el ecuador | Excentricidad de la órbita | Diámetro ecuatorial (km) | Inclinación axial (°) |
|----------------|---|---|-----------------------------------|----------------------------|--------------------------|-----------------------|
| SOL | --- | --- | 27 d | --- | 1,392,000 | 7.25 |
| MERCURIO | 57.9 | 88 d | 59 d | 0.206 | 4879 | 0.03 |
| VENUS | 108.2 | 224.7 d | 243 d | 0.007 | 12,104 | 177.4 |
| TIERRA | 149.6 | 365.26 d | 23 h 56 min 4 s | 0.017 | 12,756 | 23.49 |
| LUNA TERRESTRE | 149.6 (0.385 de la Tierra) | 27.3 d | 27.3 d | 0.055 | 3476 | 6.68 |
| MARTE | 228.0 | 1.9 y | 24 h 37 min 23 s | 0.094 | 6792 | 25.19 |
| CERES | 414.0 | 4.6 y | 9 h 6 min | 0.076 | ~939 | 4.00 |
| PALLAS | 414.0 | 4.6 y | 7 h 40 min | 0.230 | ~546 | 84.00 |
| JÚPITER | 778.5 | 11.9 y | 9 h 50 min 30 s | 0.048 | 142,984 | 3.13 |
| SATURNO | 1432.0 | 29.5 y | 10 h 14 min | 0.054 | 120,536 | 26.73 |
| URANO | 2867.0 | 83.7 y | 17 h 14 min | 0.047 | 51,118 | 97.77 |
| NEPTUNO | 4515.0 | 163.7 y | 16 h | 0.009 | 49,528 | 28.32 |
| PLUTÓN | 5906.4 | 248.0 y | 6 d 9 h | 0.250 | 2376 | 122.5 |
| ERIS | 10,000 | 557.2 y | 1 d 1 h 58 min | 0.436 | 2400 | 78.30 |

Nucleosíntesis generalizada en una estrella masiva



Porción del espectro electromagnético relacionada con las ciencias de la Tierra y del espacio



Espectros de emisión de algunos elementos de las estrellas

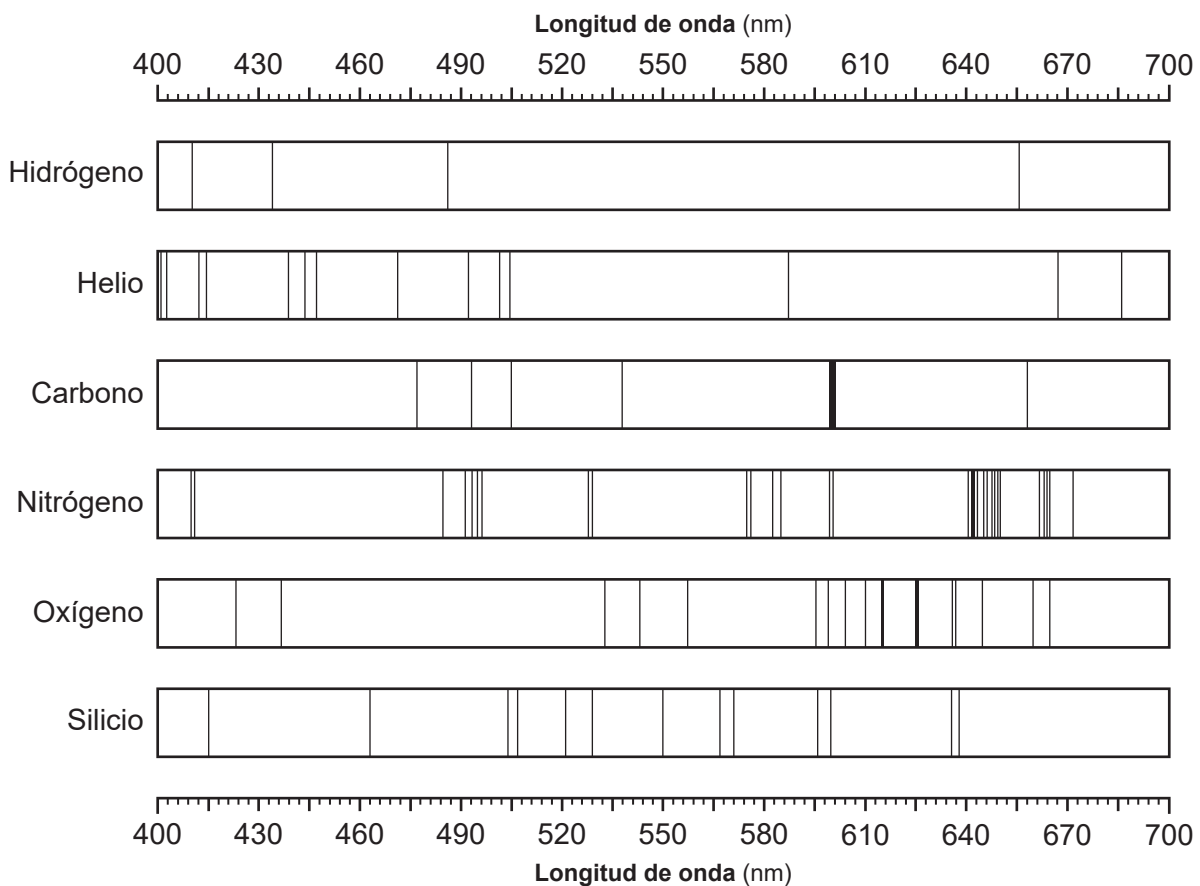
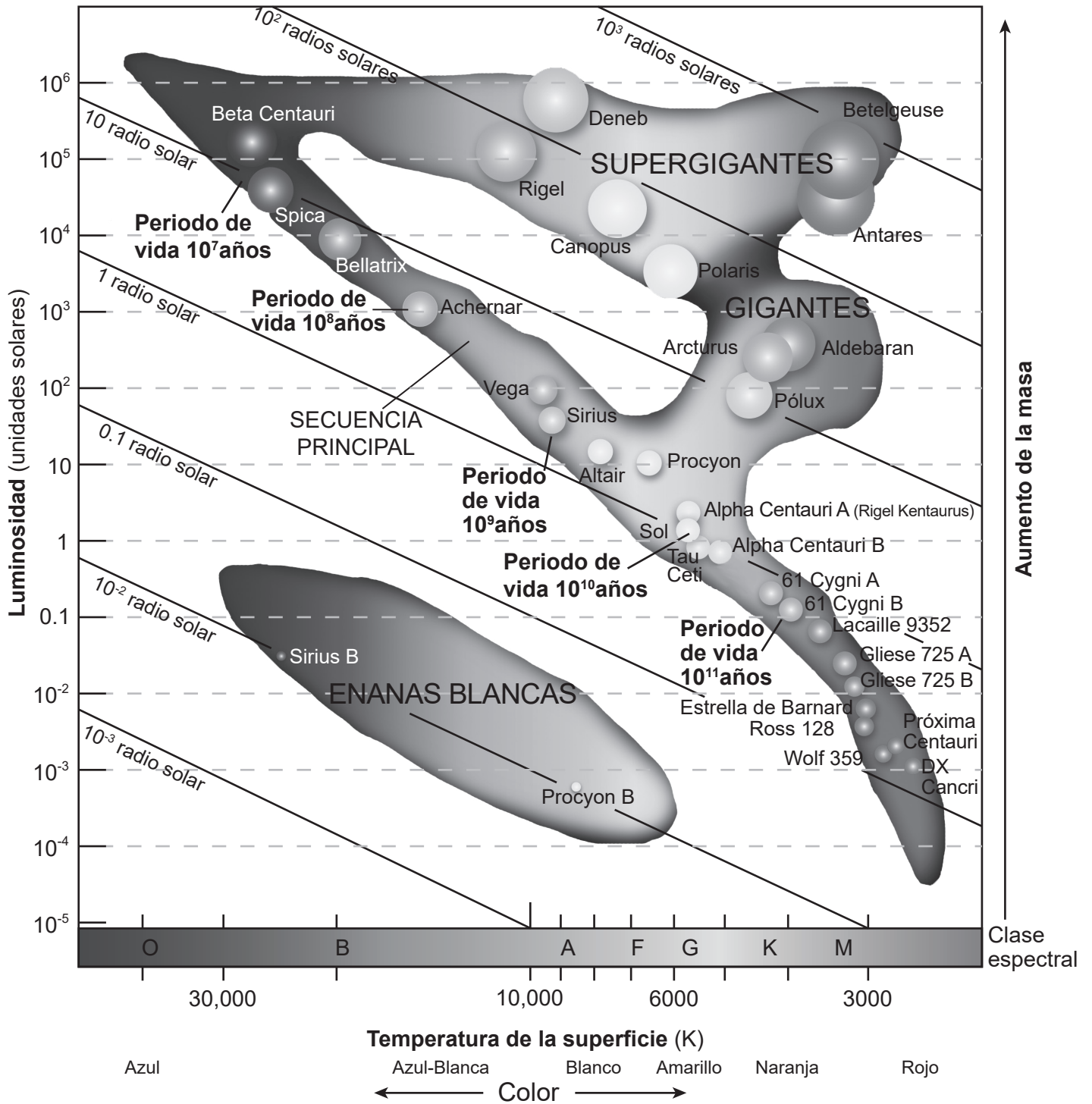
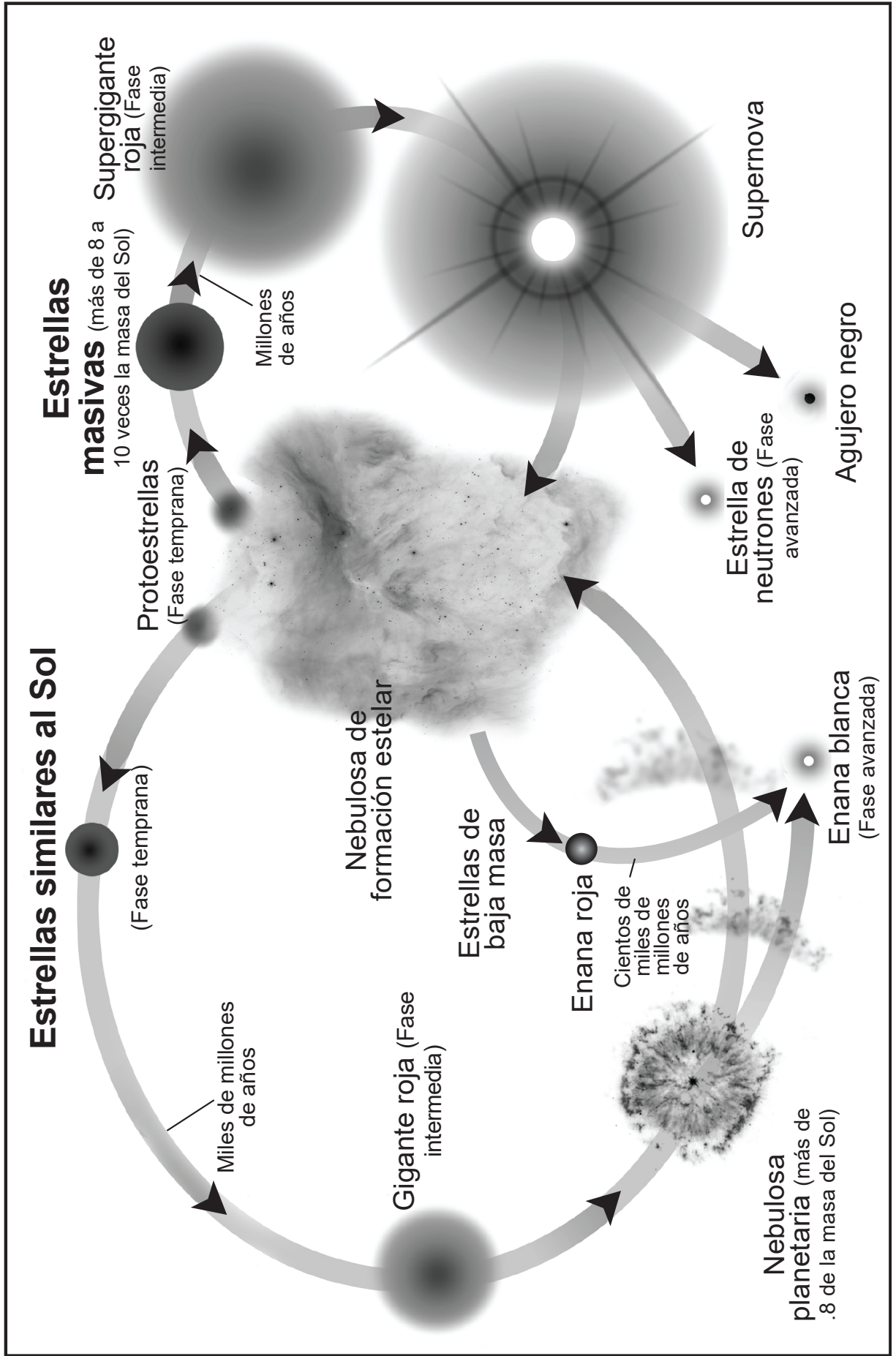


Diagrama de H-R



Modelo de los ciclos de vida de las estrellas

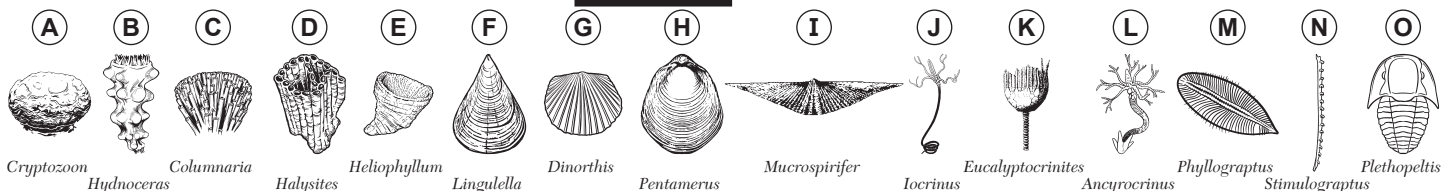


EÓN PRECÁMBRICO

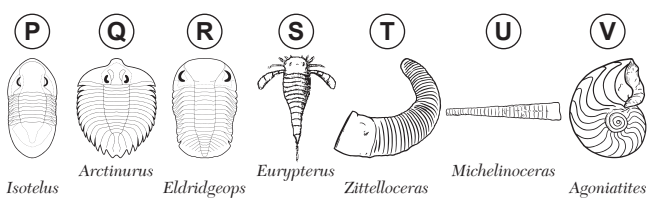
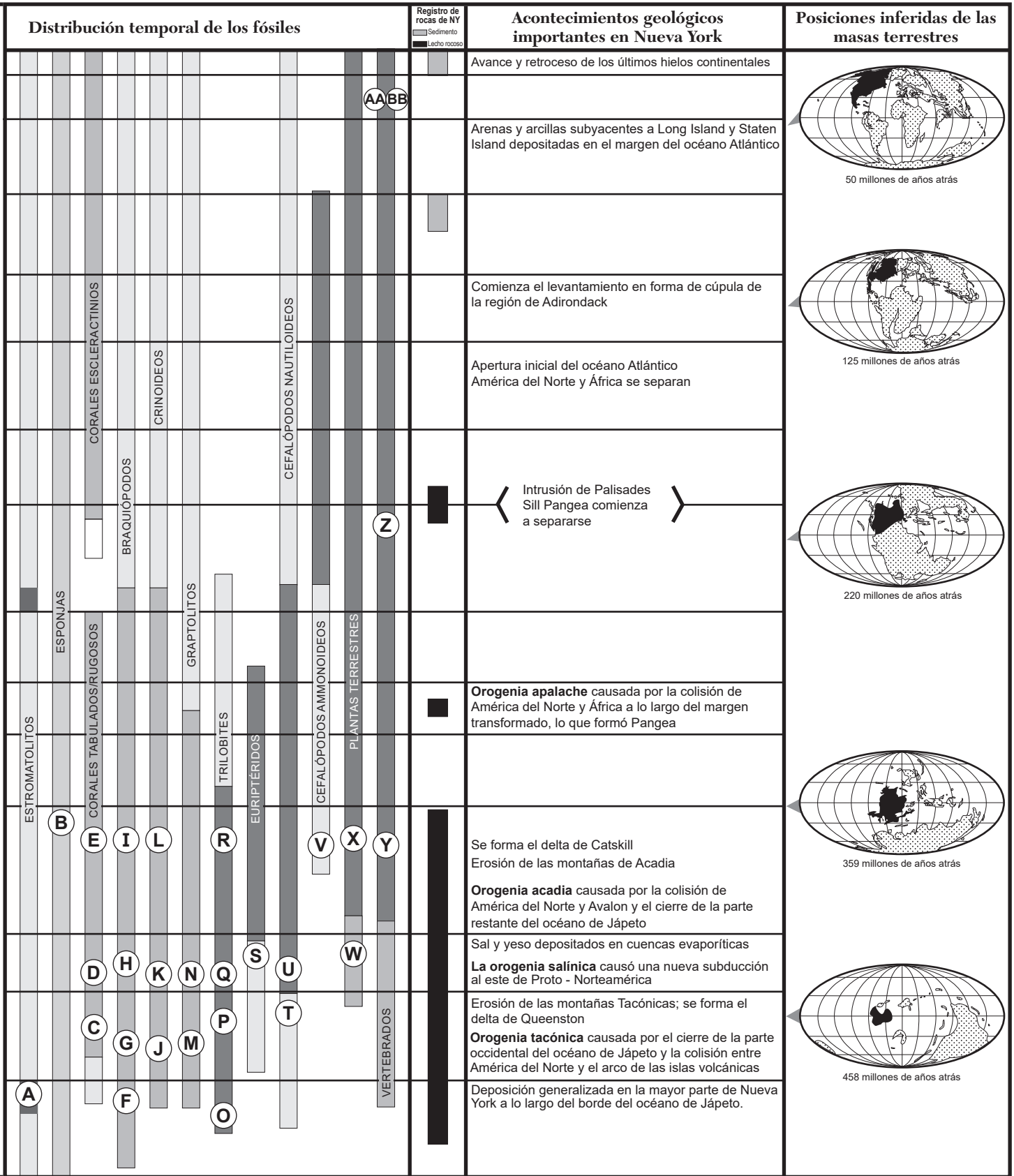
| Mil millones de años atrás | Era | Acontecimientos precámbricos | Distribución temporal de los fósiles |
|----------------------------|--|--|--------------------------------------|
| 50 | NEOPROTEROZOICO 1.0 mil millones de años atrás-539 millones de años atrás | Fauna ediacárica; primeros organismos pluricelulares (todos marinos de cuerpo blando) 635-541 Abundantes estromatolitos, otras formas de vida microbiana diversa Periodo criogénico (Época de la glaciación de la Tierra bola de nieve) | ESPONJAS |
| 1.0 | MESOPROTEROZOICO 1.6-1.0 | Rocas más antiguas del estado de Nueva York 1.3 | |
| 1.5 | PALEOPROTEROZOICO 2.5-1.6 | Primeros protistas 1.9 Primeros eucariotas 2.1 Revolución del oxígeno El oxígeno de los océanos pasa a la atmósfera terrestre 2.4-2.1 | |
| 2.0 | ERA ARCAICA | | |
| 2.5 | ERA NEOARCAICA 2.8-2.5 | Oxígeno oceánico (producido por cianobacterias fotosintetizadoras) combinada con hierro que forma capas repetidas ricas en óxido de hierro en el fondo oceánico | |
| 3.0 | ERA MESOARCAICA 3.2-2.8 | | |
| 3.5 | ERA PALEOARCAICA 3.6-3.2 | Prueba indiscutible más antigua de la vida (estromatolitos) 3.5 | ESTROMATOLITOS |
| 4.0 | ERA ARCAICA 4.0-3.6 | Evidencia más antigua de carbono biológico 3.7 | |
| 4.6 | ERA HÁDICA | Rocas más antiguas identificadas (gneis Acasta, Canadá) Circones más antiguos identificados (Jack Hills, Australia) 4.4 Formación de la Luna 4.5 Época estimada del origen de la Tierra y del sistema solar | |

EÓN FANEROZOICO

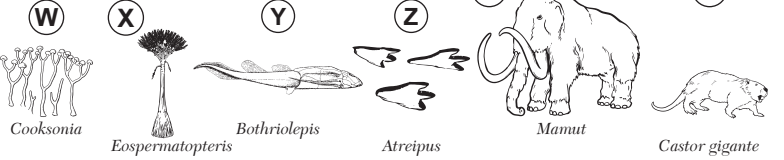
| Millones de años atrás | Era | Periodo | Época (millones de años atrás) | Vida terrestre |
|------------------------|--|---------------|--------------------------------------|---|
| 50 | CENOZOICO 66.0-presente | CUATERNARIO | Holoceno (.012- presente) | Fin de la Edad de Hielo; crece la población humana |
| 2.6 | | NEÓGENO | Pleistoceno 2.6-0.12 | Humanos, mamuts, castores gigantes |
| 2.3 | | | Plioceno 5.3-2.6 Mioceno 23.0-5.3 | Grandes mamíferos carnívoros; diversos antepasados humanos Abundantes mamíferos herbívoros; cocodrilos gigantes |
| 66 | MESOZOICO 252-66.0 | PALEÓGENO | Oligoceno 34-23 | Los pastizales se extienden |
| 66 | | | Eoceno 56-34 | Aparecen los caballos y las ballenas |
| 145 | JURÁSICO | CRETÁCEO | Paleoceno 66-56 | Muchos grupos modernos de mamíferos evolucionan |
| 145 | | | Cretácico Superior 101-66 | Extinción masiva de todos los dinosaurios no avianos, muchas plantas terrestres, ammonídeos y otros organismos marinos. La hierba empieza a evolucionar Primeros mamíferos placentarios |
| 145 | | | Cretácico inferior 145-101 | Reptiles marinos gigantes (ictiosaurios, plesiosaurios) Las rayas y los tiburones modernos son habituales Plantas con primeras flores Diversos peces óseos |
| 201 | TRIÁSICO | JURÁSICO | Jurásico Superior 162-145 | Primeras aves; apogeo de los saurópodos y ammonídeos |
| 201 | | | Jurásico Medio 175-162 | Abundancia de dinosaurios y ammonídeos |
| 201 | | | Jurásico inferior 201-175 | Saurópodos más antiguos |
| 252 | PÉRMICO | PENSILVÁNICOS | Triásico Superior 237-201 | Quinto evento de extinción más grande Huellas de dinosaurios en NY (condado de Rockland) Primeros mamíferos |
| 252 | | | Triásico Medio 247-237 | Primeros dinosaurios |
| 252 | | | Triásico inferior 252-247 | La mayor extinción masiva de numerosas plantas y especies animales terrestres y marinas |
| 299 | CARBONIFEROS | MISISÍPICO | Pérmico Superior 260-252 | Diversos antepasados de los mamíferos |
| 299 | | | Pérmico Medio 273-260 | Por primera vez, los reptiles son más comunes que los anfibios |
| 299 | | | Pérmico inferior 299-273 | Extensa vegetación carbonífera en pantanos |
| 323 | PALFOZOICO 539-252 millones de años atrás | MISISÍPICO | Misisípico Superior 331-323 | Anfibios abundantes |
| 323 | | | Misisípico Medio 347-331 | Plantas vasculares grandes y numerosas Primeros reptiles |
| 323 | | | Misisípico inferior 359-347 | |
| 359 | DEVÓNICO | DEVÓNICO | Devónico Superior 383-359 | Extinción de muchos organismos marinos, posiblemente causada por el cambio climático debido a la expansión de los bosques |
| 359 | | | Devónico Medio 393-383 | Primeros anfibios y primeras plantas con semillas Primeros bosques de la Tierra - Gilboa y Cairo, NY |
| 359 | | | Devónico inferior 419-393 | Abundantes peces y braquiópodos Primeros ammonídeos |
| 419 | ORDOVÍCICO | ORDOVÍCICO | Pridoli 423-419 | Abundantes euriptéridos en NY; primeros tiburones |
| 419 | | | Ludlow 427-423 | Primeros animales terrestres (artrópodos) |
| 419 | | | Wenlock 433-427 | Primeros peces con mandíbulas; primeras plantas vasculares |
| 444 | CÁMBRICO | CÁMBRICO | Llandovery 444-433 | Los arrecifes se extienden; aumento de la temperatura global Extinción masiva que afecta a todos los grandes grupos de organismos marinos |
| 444 | | | Ordovícico Superior 458-444 | Primeros corales de arrecife de la Tierra, primeras plantas terrestres |
| 444 | | | Ordovícico Medio 470-458 | Rápida diversificación de los animales paleozoicos |
| 485 | CÁMBRICO | CÁMBRICO | Ordovícico inferior 485-470 | Extinción de muchas formas de vida primitivas |
| 485 | | | Furongiense 497-485 | Máxima diversidad de trilobites |
| 485 | | | Miaolingiense 509-497 | Primeros trilobites; primeros peces |
| 539 | CÁMBRICO | CÁMBRICO | Época 2 521-509 | Primeras formas de vida con caparazón duro |
| 539 | | | Terreneuviense 539-521 | |



DEL ESTADO DE NUEVA YORK

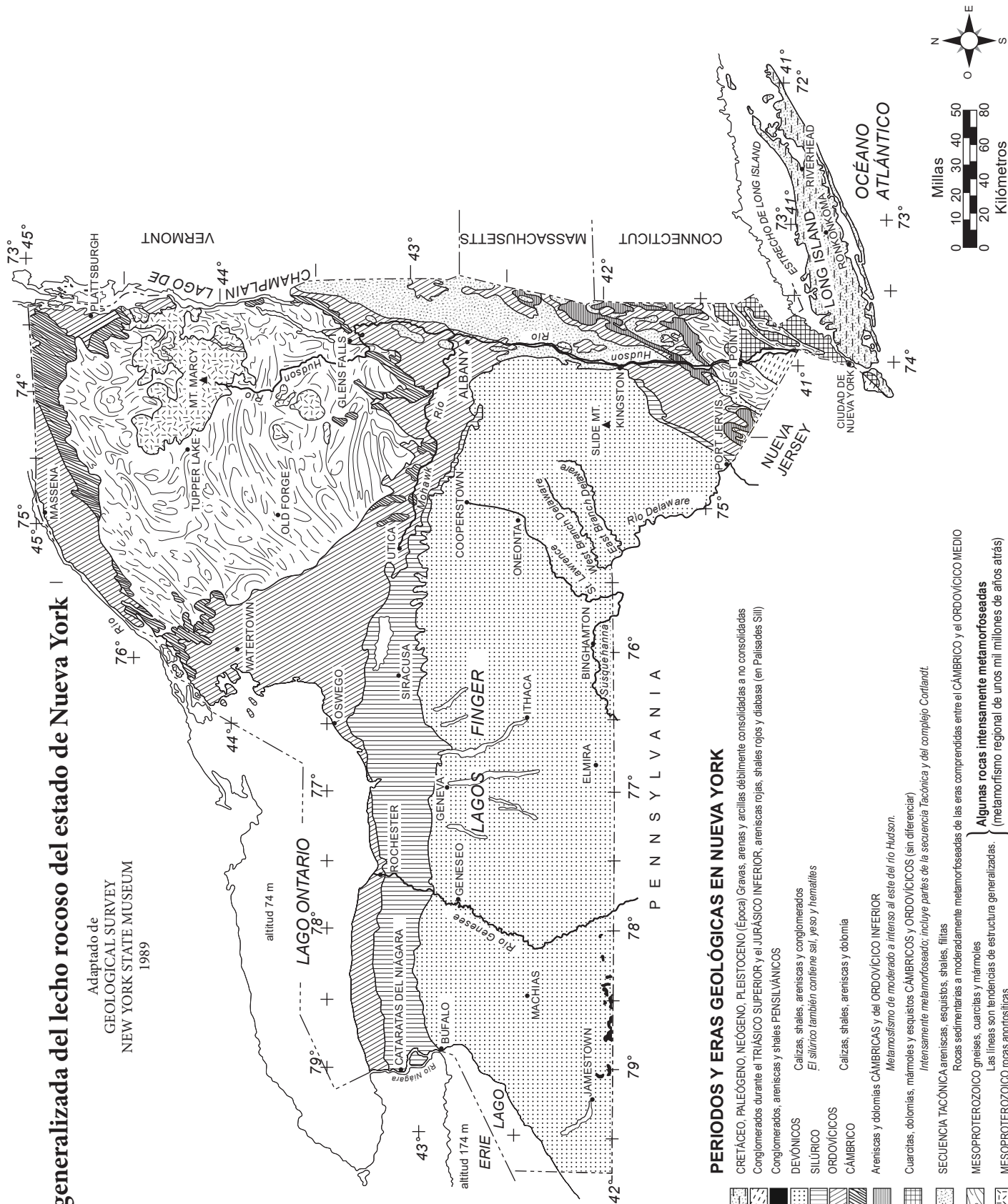


Primera apertura del océano de Jápeto. **Orogenia de Grenville:** Metamorfismo del lecho rocoso expuesto - Adirondacks y Hudson Highlands.



Geología generalizada del lecho rocoso del estado de Nueva York

Adaptado de
GEOLOGICAL SURVEY
NEW YORK STATE MUSEUM
1989



PERIODOS Y ERAS GEOLÓGICAS EN NUEVA YORK

CRETÁCEO, PALEÓGENO, NEÓGENO, PLEISTOCENO (Época) Gravas, arenas y arcillas débilmente consolidadas e no consolidadas
Conglomerados durante el TRIÁSICO SUPERIOR y el JURÁSICO INFERIOR, areniscas rojas, shales rojos y diabasa (en Palisades Sill)

Conglomerados, areniscas y shales PENNSILVÁNICOS

DEVÓNICOS Calizas, shales, areniscas y conglomerados

SILÚRICO El silúrico también contiene sal, yeso y hematitas

ORDOVÍCICOS

CAMBRICO Calizas, shales, areniscas y dolomía

Areniscas y dolomías CAMBRICAS y del ORDOVÍCICO INFERIOR

Metamorfismo de moderado a intenso al este del río Hudson.

Cuarzitas, dolomías, mármoles y esquistos CAMBRICOS y ORDOVÍCICOS (sin diferenciar)

Intensamente metamorfosado; incluye partes de la secuencia Taconica y del complejo Cortlandt.

SECUENCIA TACÓNICA areniscas, esquistos, shales, filitas

Rocas sedimentarias a moderadamente metamorfosadas de las eras comprendidas entre el CAMBRICO y el ORDOVÍCICO MEDIO

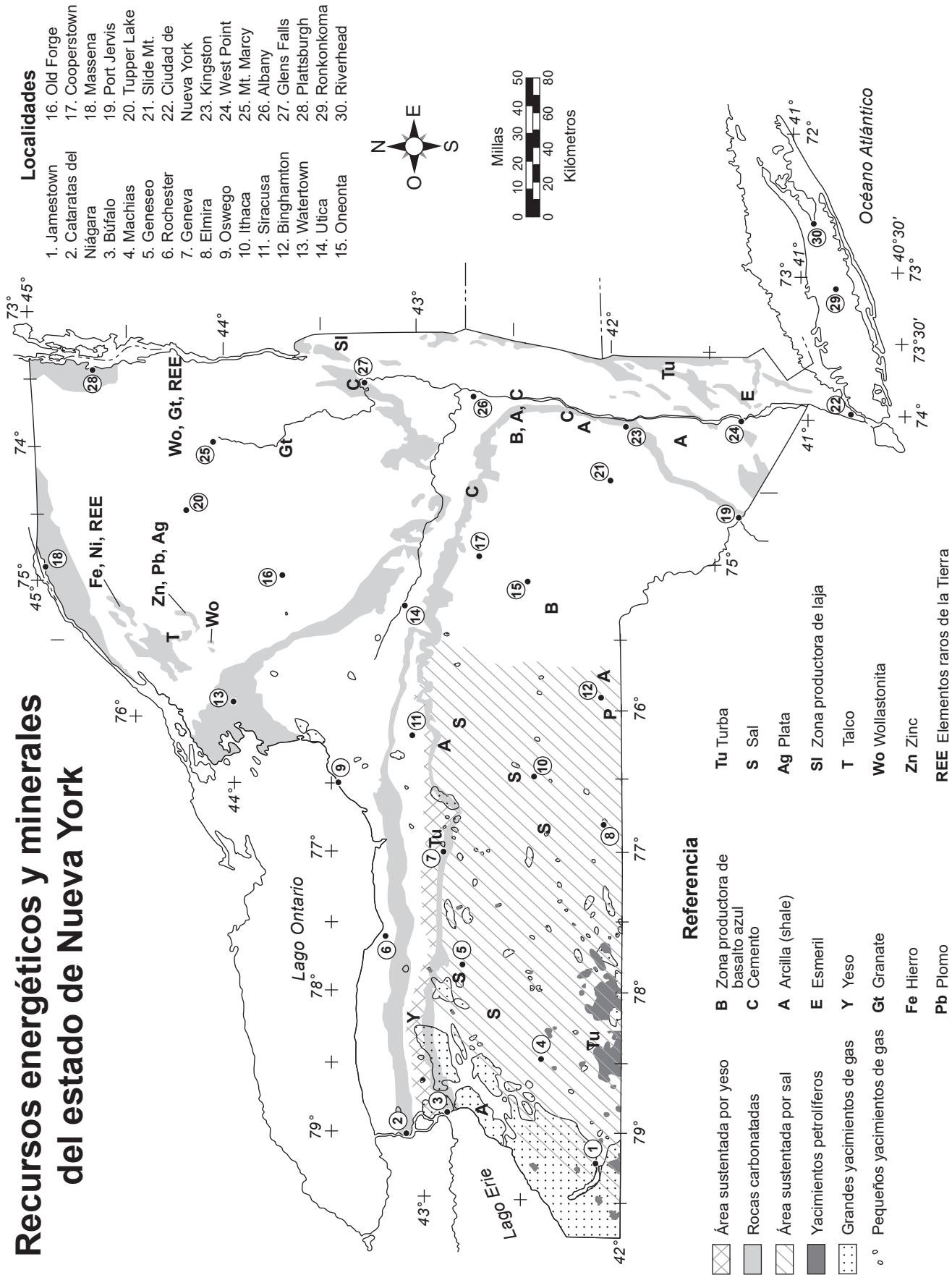
MESOPROTEROZOICO gneises, cuarcitas y mármoles

Las líneas son tendencias de estructura generalizadas.

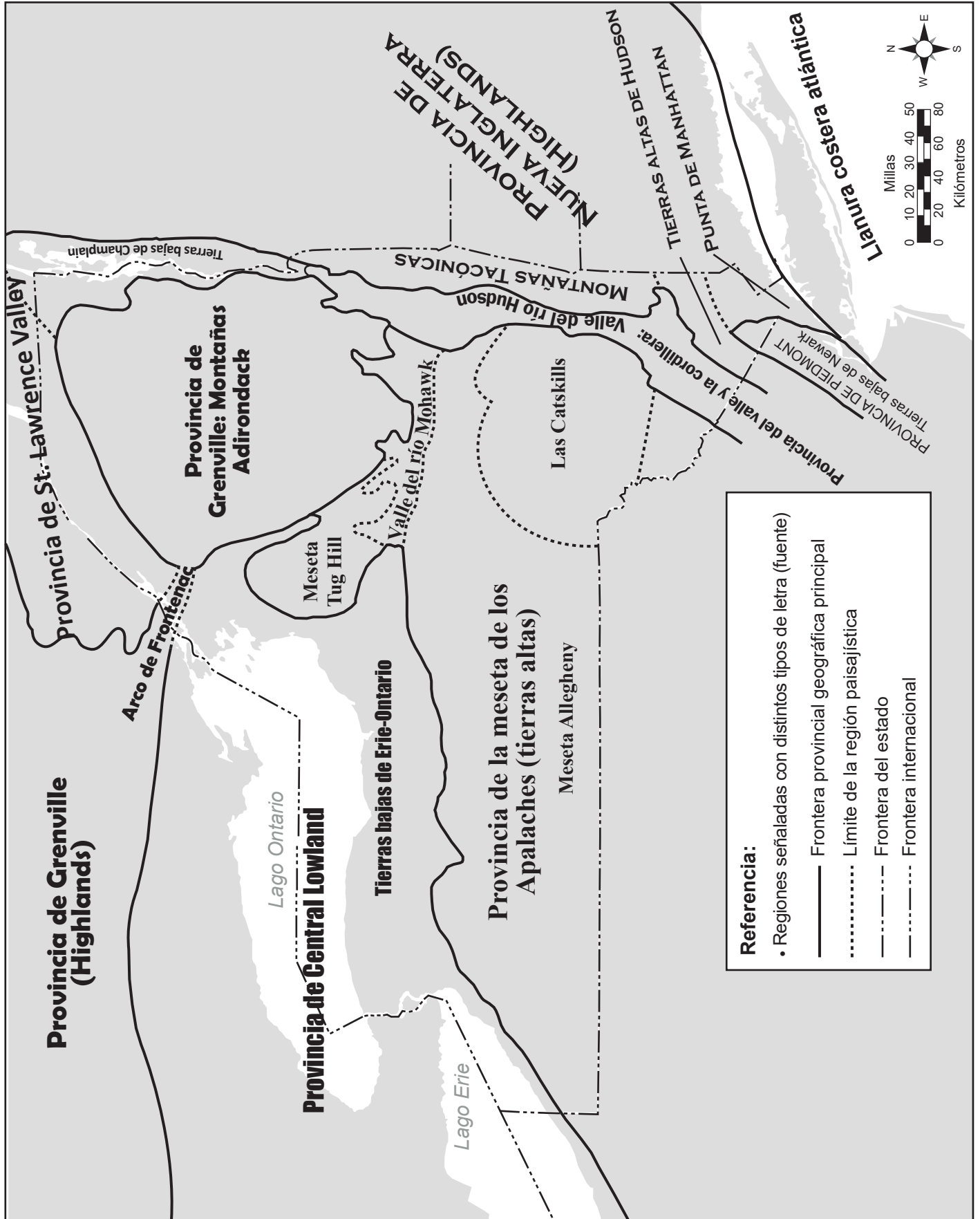
MESOPROTEROZOICO rocas anoritóticas

Algunas rocas intensamente metamorfosadas
(metamorfismo regional de unos mil millones de años atrás)

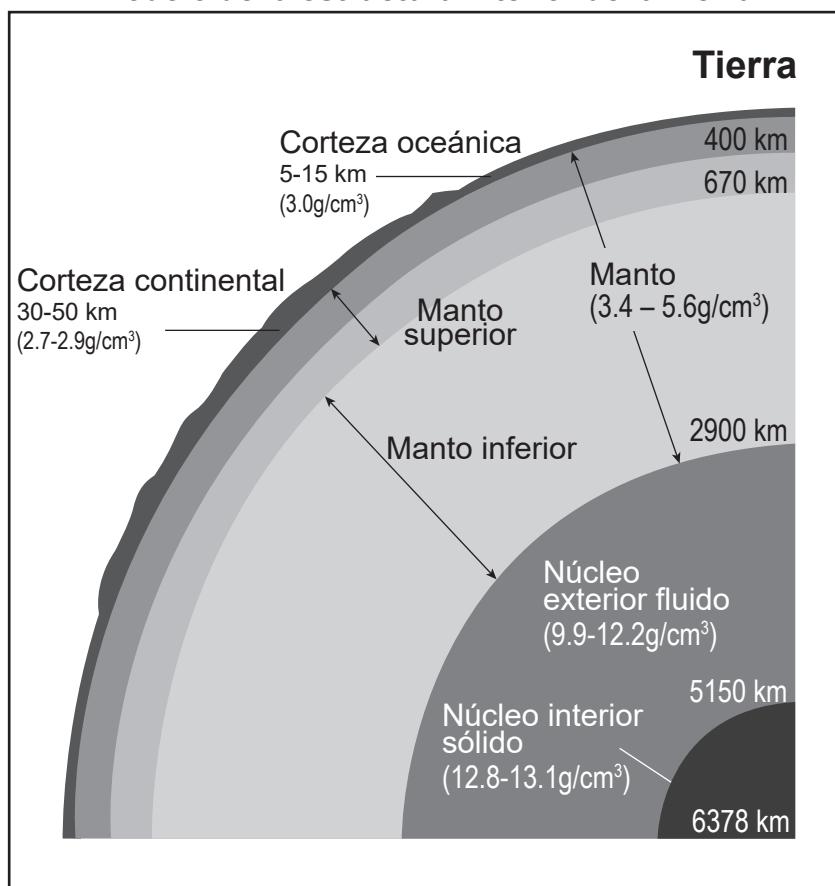
Recursos energéticos y minerales del estado de Nueva York



PROVINCIA GEOGRÁFICA Y REGIONES PAISAJÍSTICAS DEL ESTADO DE NUEVA YORK

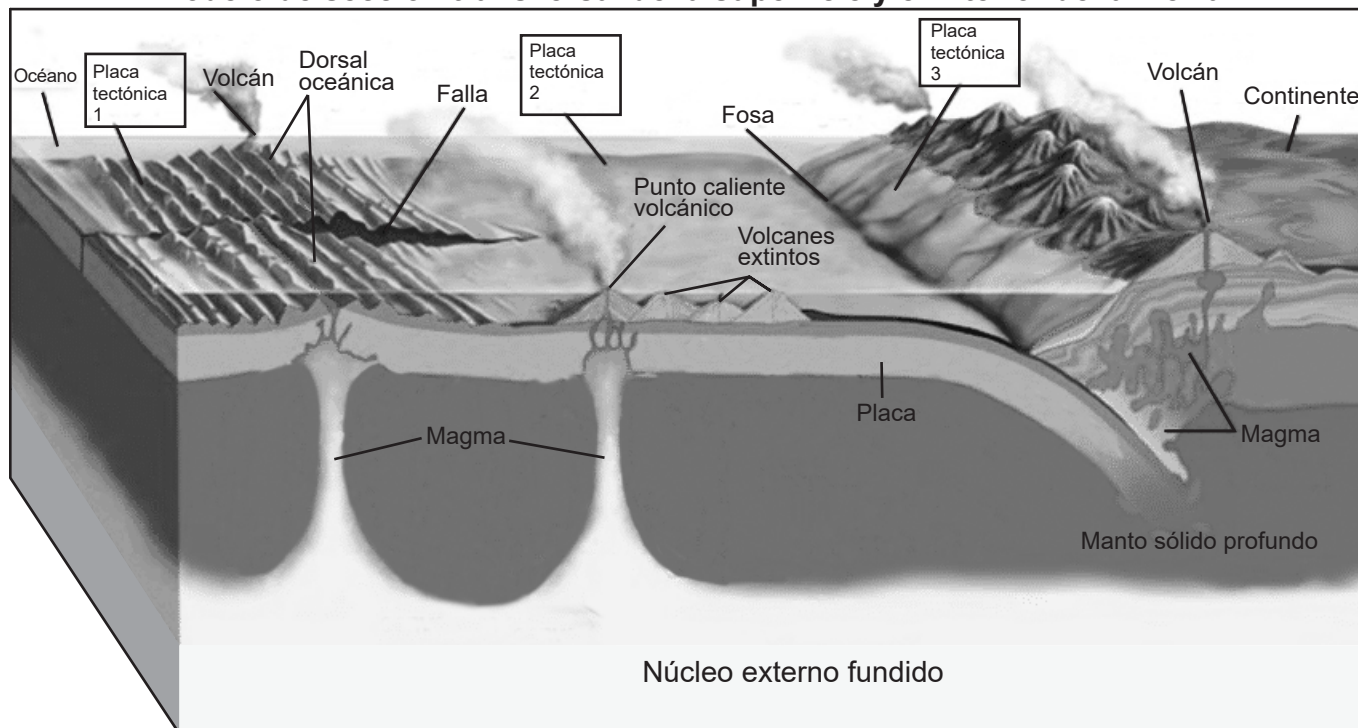


Modelo de la estructura interior de la Tierra



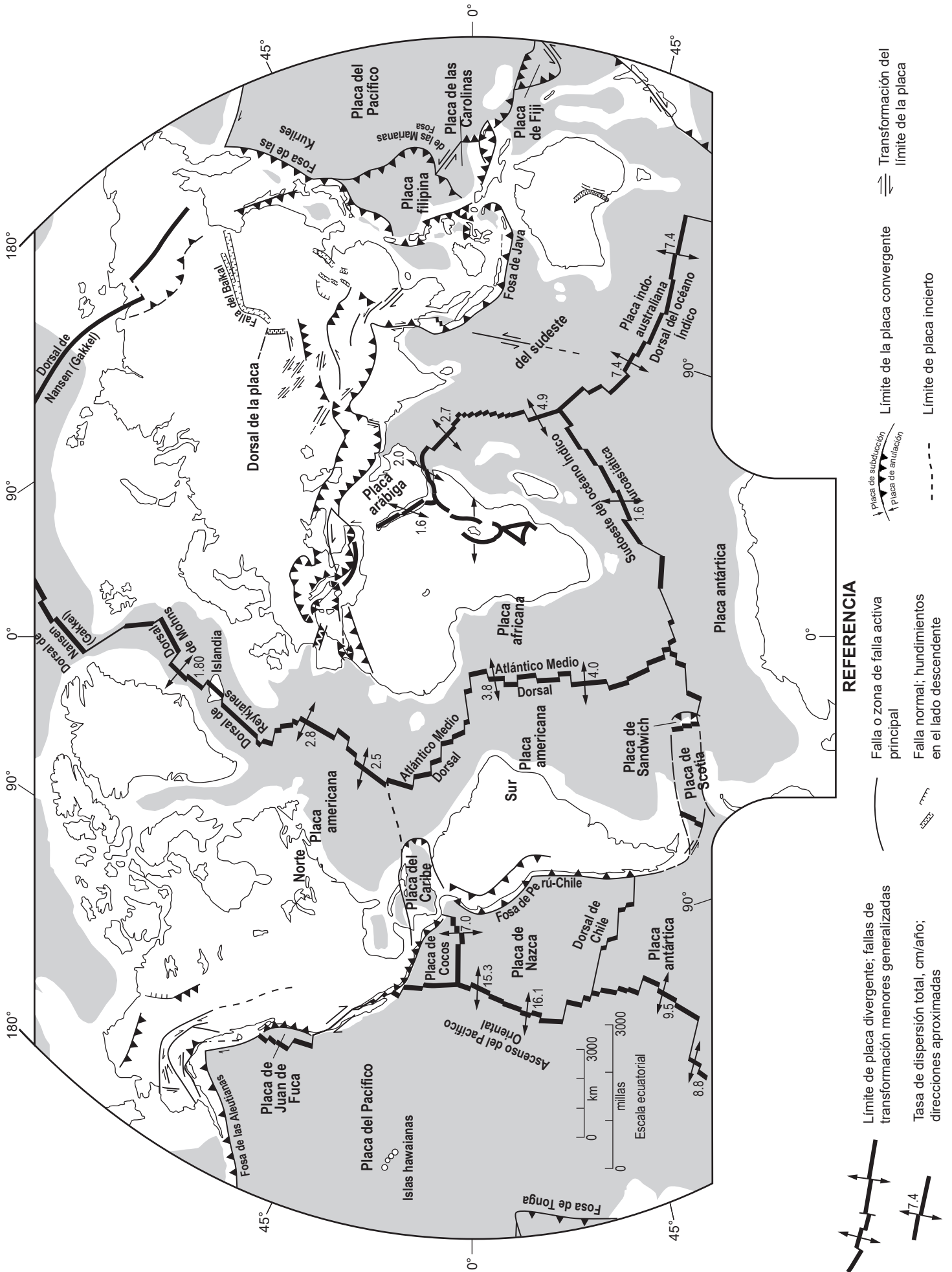
(No está dibujado a escala)

Modelo de sección transversal de la superficie y el interior de la Tierra

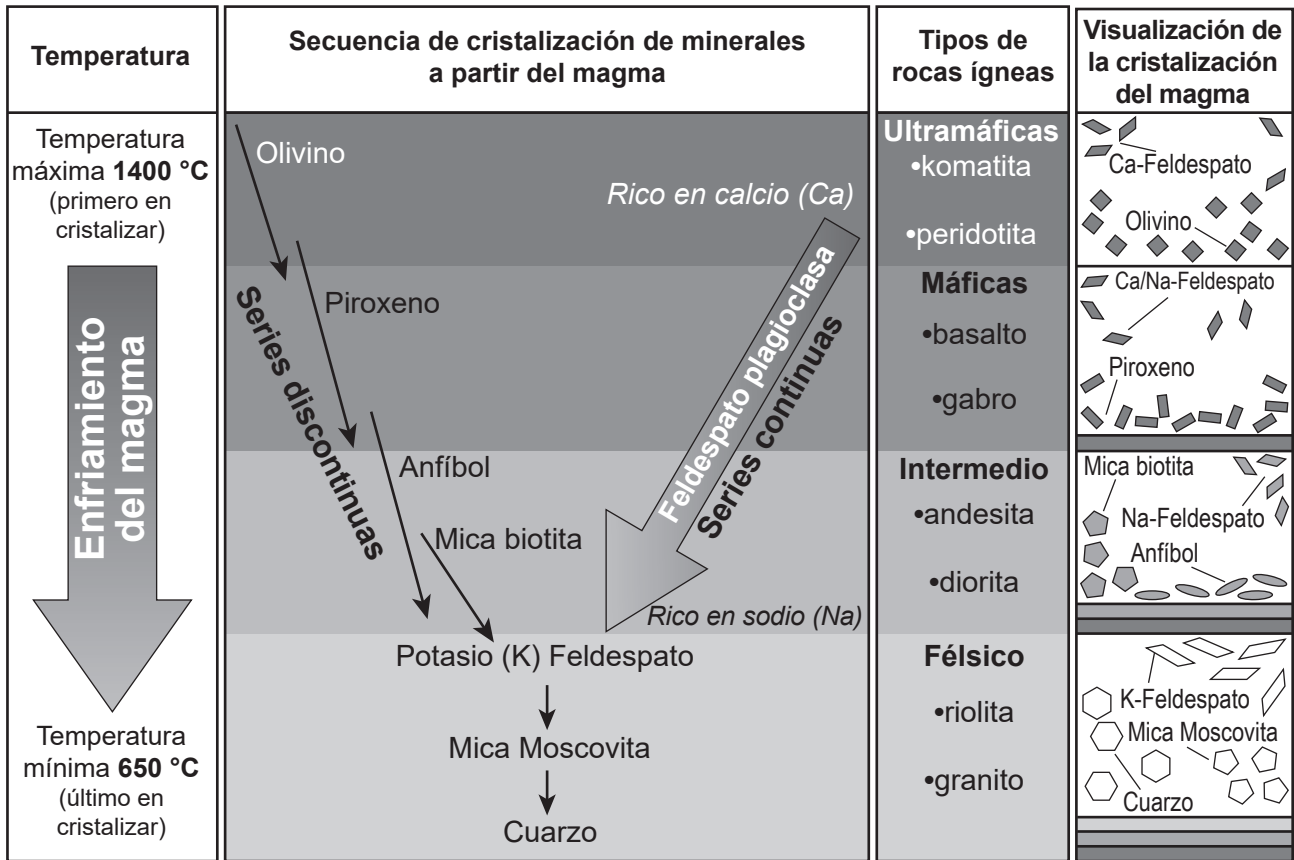


(No está dibujado a escala)

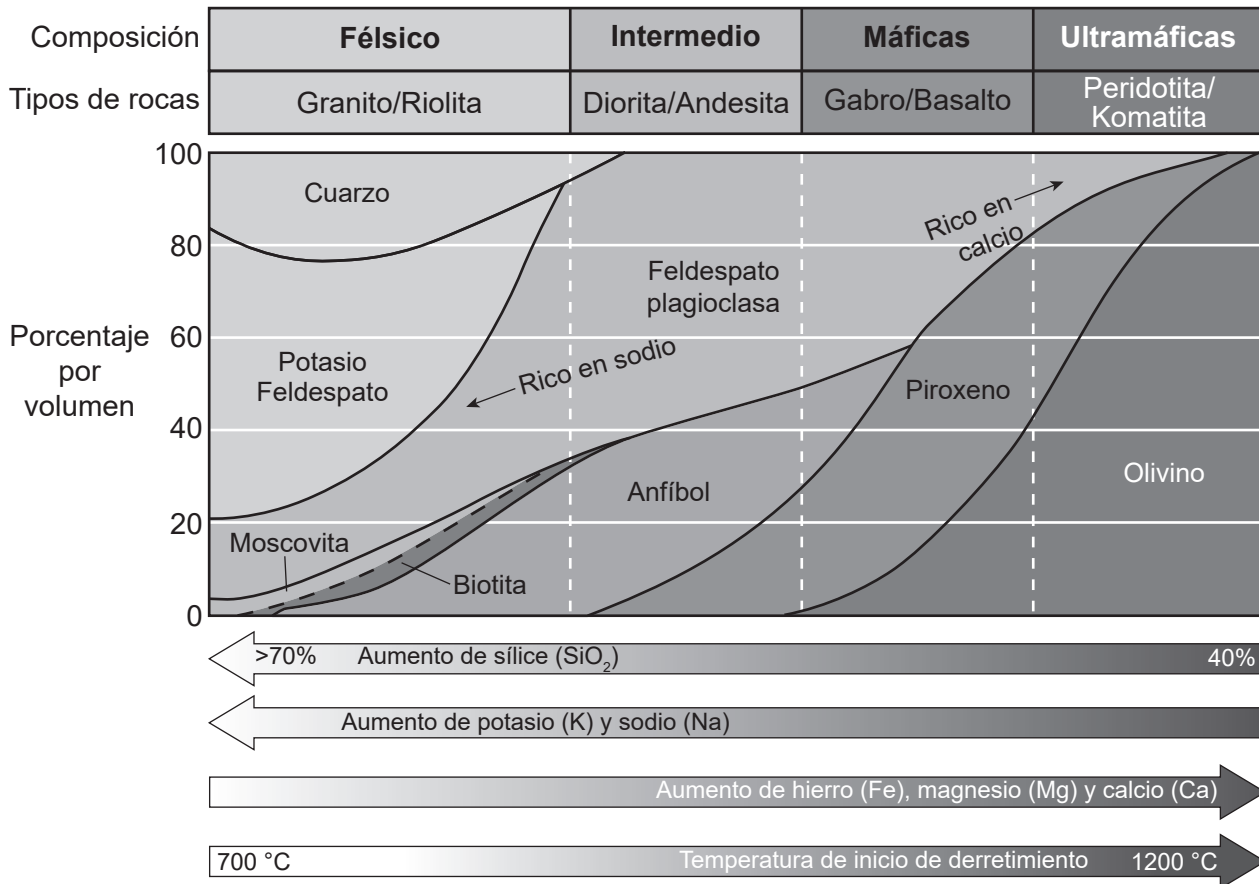
Actividad tectónica mundial en el último millón de años



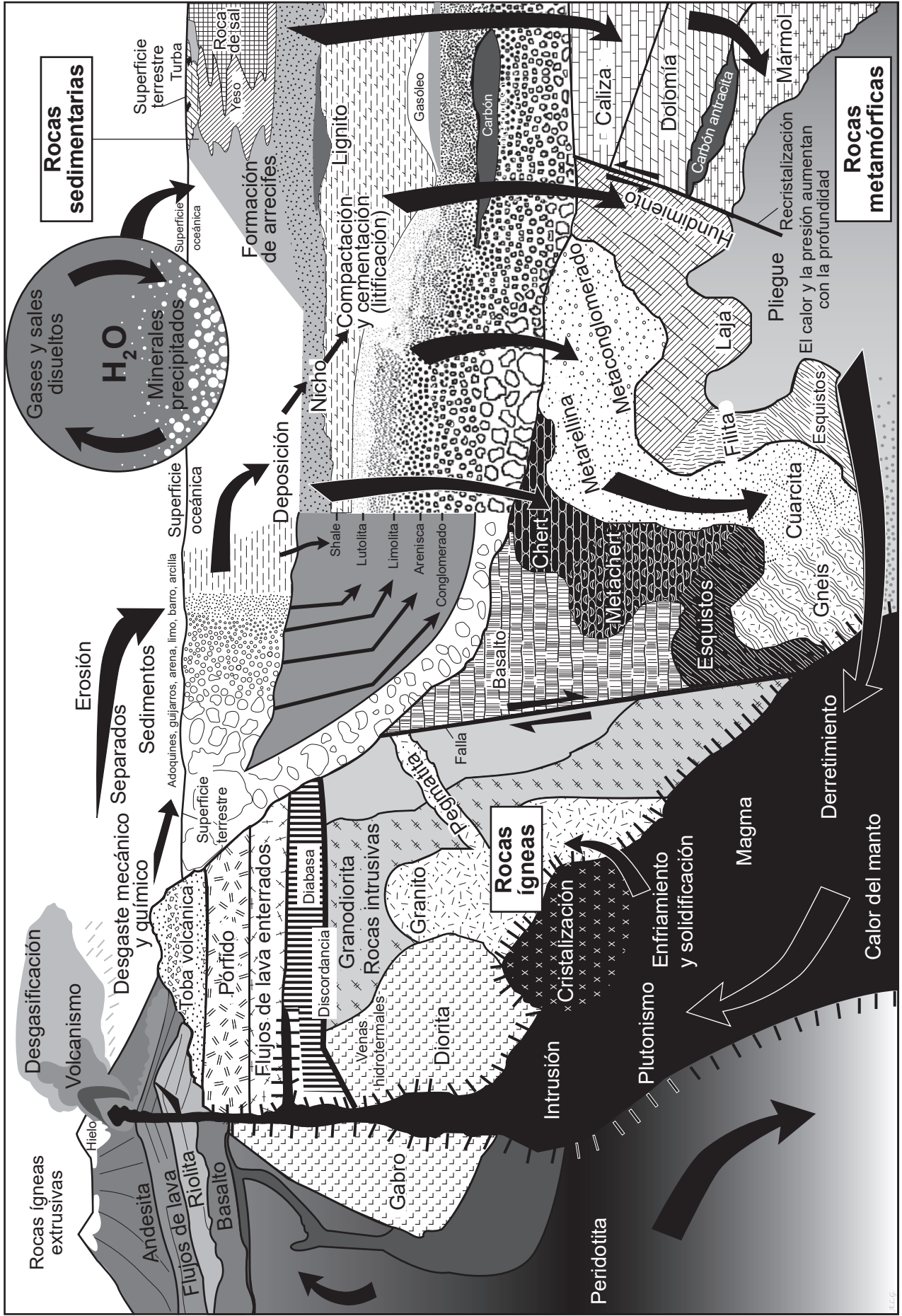
Modelo de la serie de reacciones de Bowen



Composición mineral de las rocas ígneas



Infografía del ciclo de la roca



Elementos radiactivos de importancia geológica utilizados para la datación radiométrica

| Isótopo padre | Producto de decaimiento | Vida media (años) | Rango de datación útil (años) | Materiales que pueden ser sujetos a datación |
|---------------|-------------------------|-------------------|--------------------------------|---|
| Samario-147 | Neodimio-143 | 106 mil millones | 10 millones - 4.6 mil millones | Granates, micas |
| Rubidio-87 | Estroncio-87 | 48.8 mil millones | 10 millones - 4.6 mil millones | Minerales potásicos (mica, feldespato, hornblenda), roca ígnea o metamórfica entera |
| Uranio-238 | Plomo-206 | 4.5 mil millones | 10 millones - 4.6 mil millones | Minerales que contienen uranio (circón, apatita, uraninita) |
| Uranio-235 | Plomo-207 | 713 mil millones | 10 millones - 4.6 mil millones | Minerales que contienen uranio (circón, apatita, uraninita) |
| Potasio-40 | Argón-40 | 1.3 mil millones | 100,000 - 4.6 mil millones | Minerales potásicos (mica, feldespato, hornblenda), rocas ígneas o volcánicas (toba o flujos de lava) |
| Carbono-14 | Nitrógeno-14 | 5730 | 100 - 70,000 | Materias orgánicas, hielo glacial que contiene dióxido de carbono, aguas subterráneas y agua oceánica |

Escala de dureza de Mohs

| Dureza | Nombre del mineral | Herramientas |
|--------|--------------------|------------------|
| 10 | Diamante | |
| 9 | Corindón | |
| 8 | Topacio | |
| 7 | Cuarzo | |
| 6 | Ortoclasa | Placa de estrías |
| 5.5 | | Placa de vidrio |
| 5 | Apatita | |
| 4.5 | | Clavo de acero |
| 4 | Fluorita | |
| 3.5 | | Penique de cobre |
| 3 | Calcita | |
| 2.5 | | Uña |
| 2 | Yeso | |
| 1 | Talco | |

Diagrama de flujo de identificación de minerales

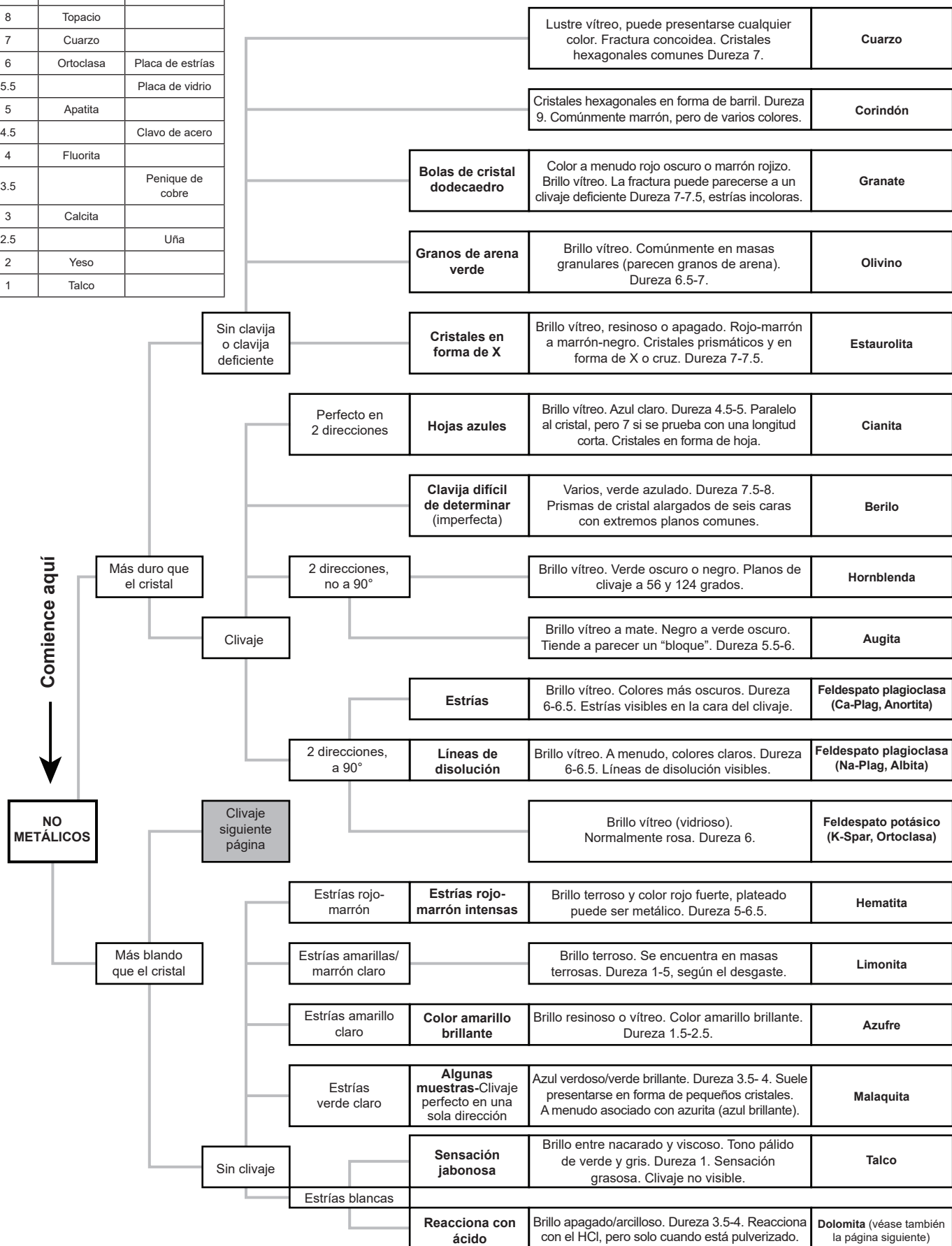
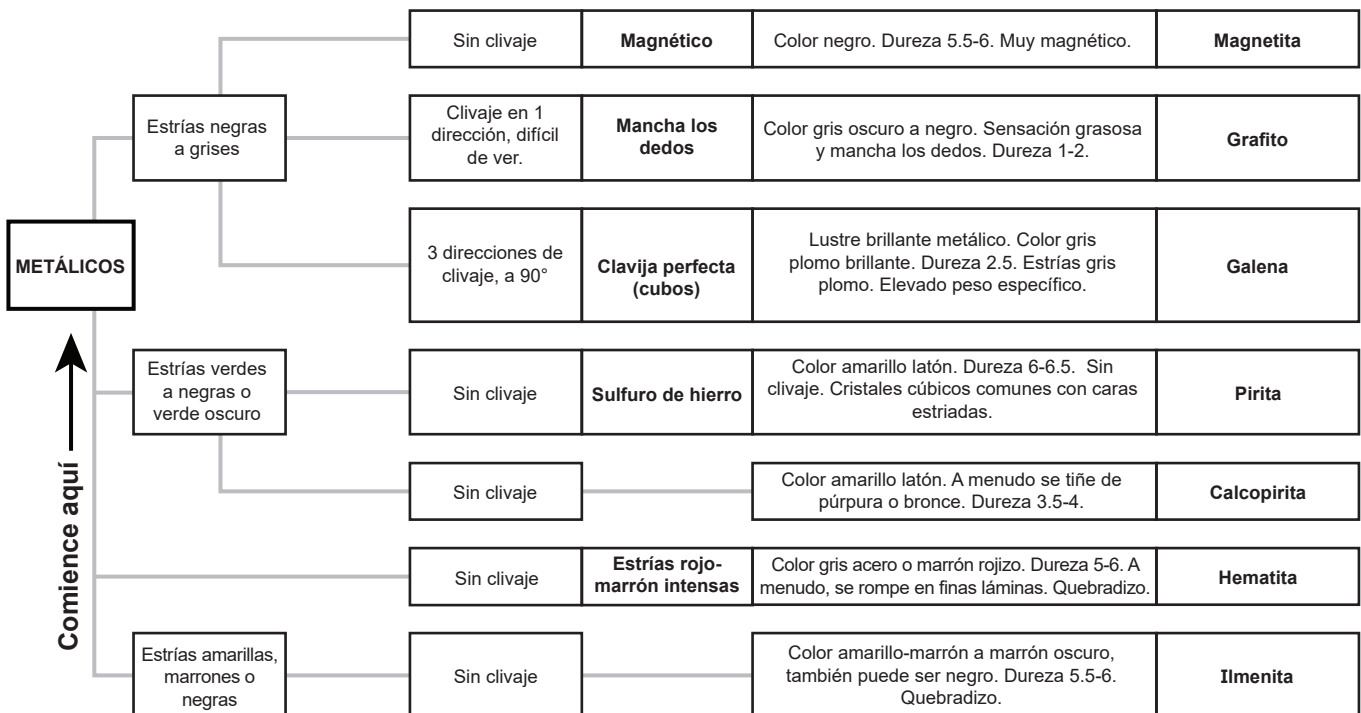
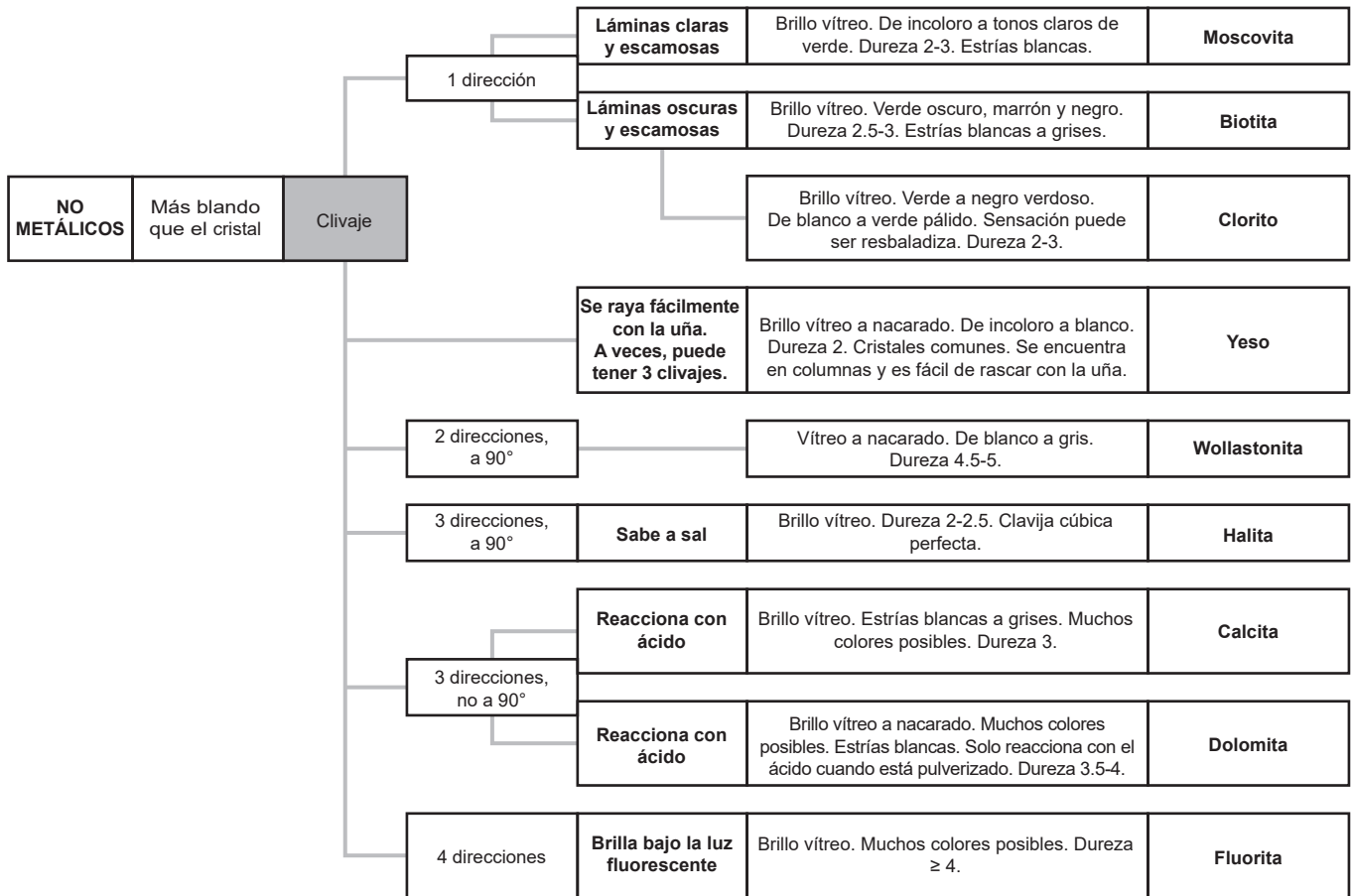
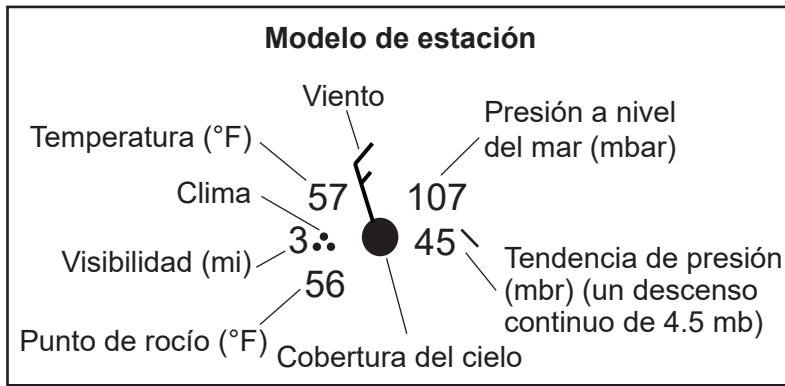


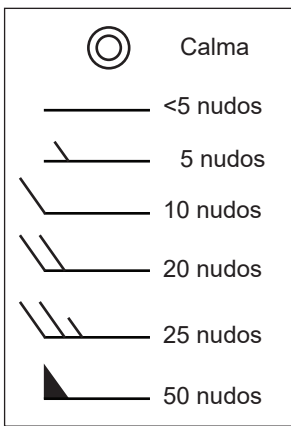
Diagrama de flujo de identificación de minerales (Continuación)



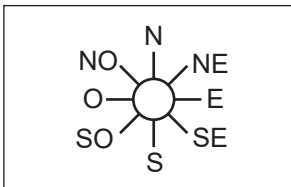
Referencia de los símbolos del mapa meteorológico



Velocidad del viento



Dirección del viento



Presión atmosférica

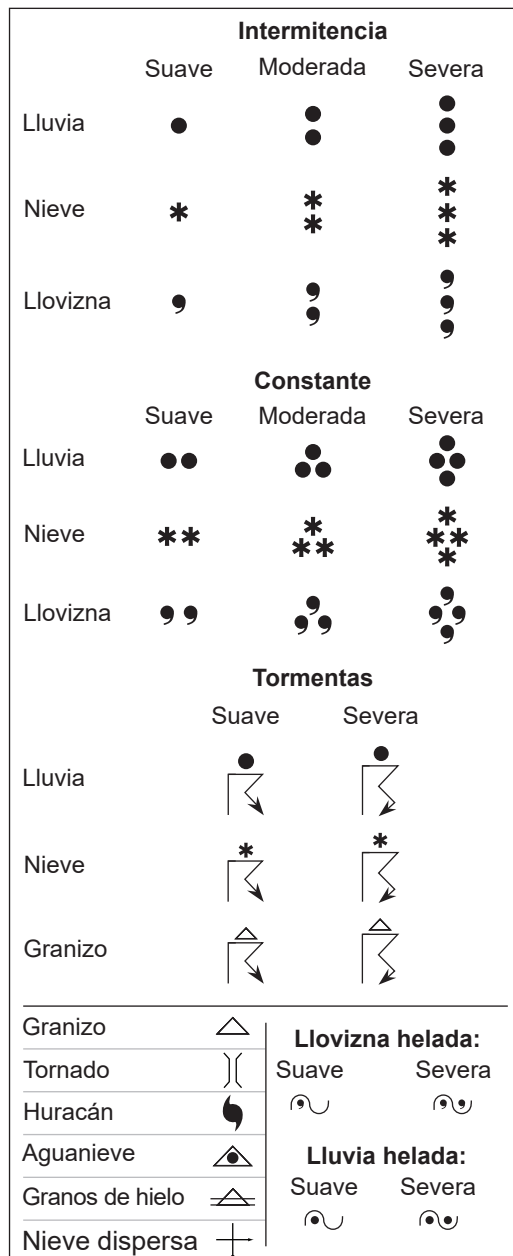


Presión

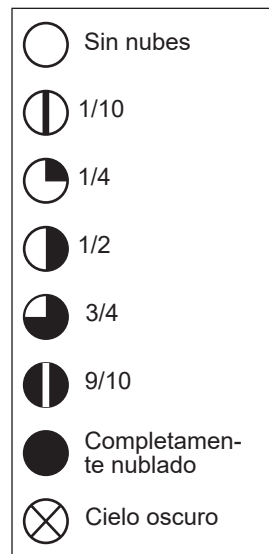
La presión a nivel del mar se marca en décimos de milibares (mbar), sin el 10 o 9 delantero.

410: 1041.0 mbar
 103: 1010.3 mbar
 987: 998.7 mbar
 872: 987.2 mbar

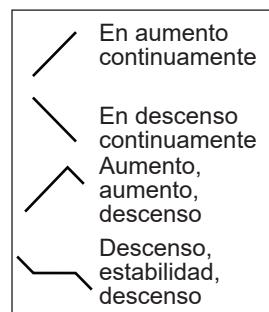
Condiciones climáticas



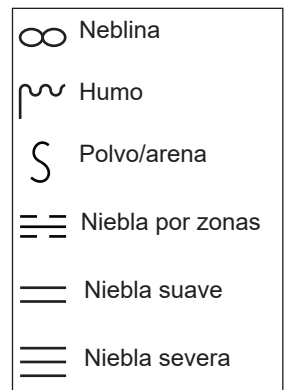
Cobertura del cielo



Tendencia de presión (3 horas previas)



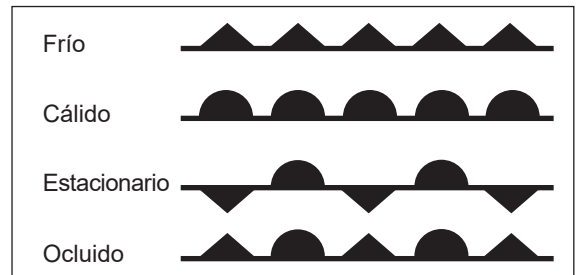
Cobertura del cielo (misc.)



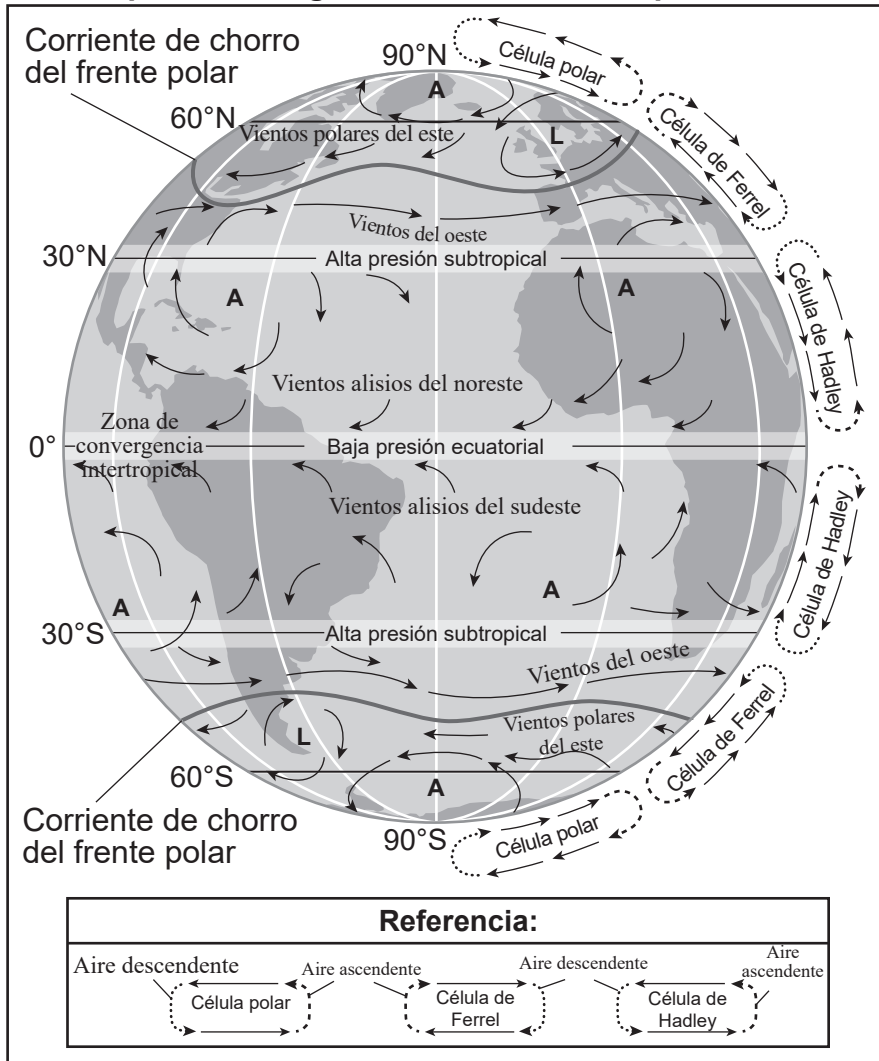
Chubascos



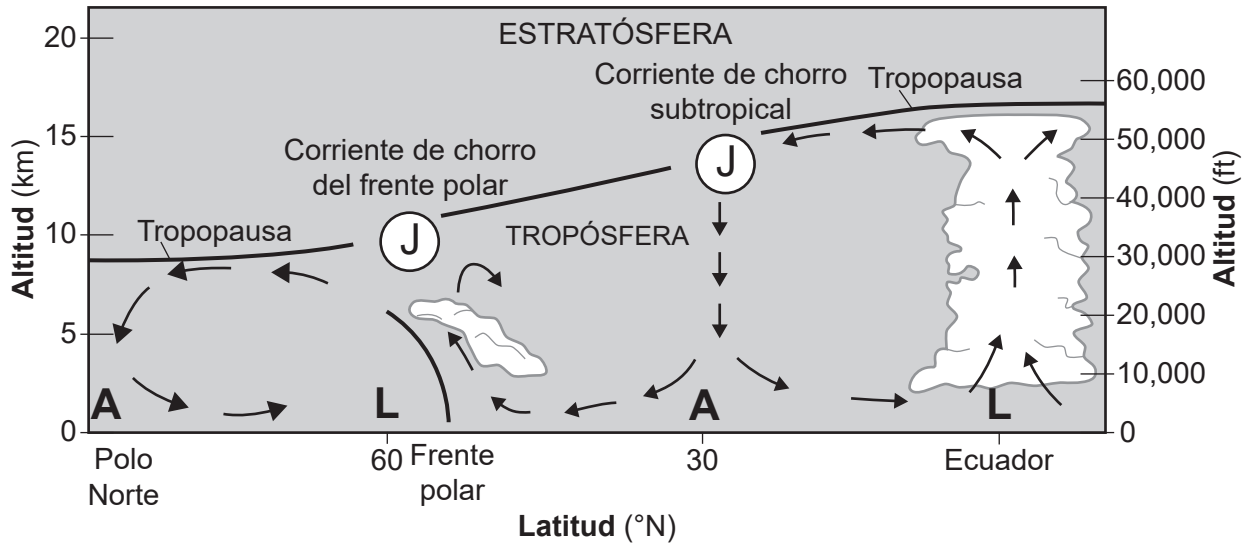
Frentes



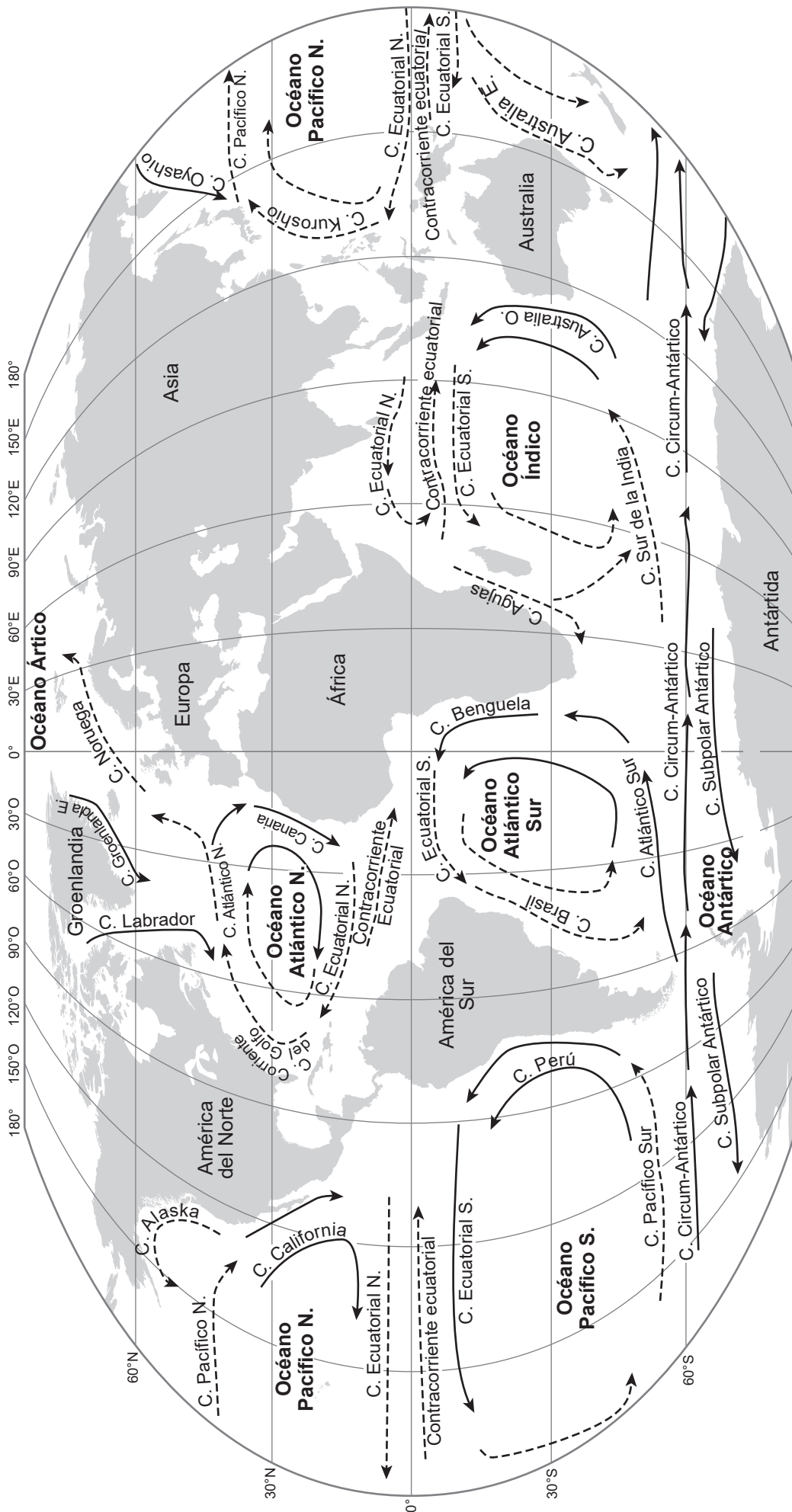
Modelo de cinturones de vientos planetarios generalizados en la tropósfera



Modelo de la sección transversal de la baja atmósfera terrestre



Modelo de corrientes oceánicas superficiales



| Referencia | |
|------------|--------------------|
| → | Corrientes cálidas |
| - - - - - | Corriente fría |